

بررسی راندمان حذف روی و مس از محلول آبی با استفاده از جاذب

نانوساختار نی

علی بافکار^{۱*}، هدی کهریزی^۲ و معصومه فراتستی^۳

۱- استادیار گروه مهندسی آب، دانشکده کشاورزی، دانشگاه رازی کرمانشاه

۲- دانشجوی دکتری آبیاری و زهکشی، پردیس ابوريحان، دانشگاه تهران

۳- استادیار گروه مهندسی آب، دانشکده کشاورزی، دانشگاه گنبد کاووس

(تاریخ دریافت ۹۶/۰۵/۱۷ - تاریخ پذیرش ۹۶/۱۲/۲۰)

چکیده:

هدف از این پژوهش تعیین کارایی نانوساختار نی در حذف یون های روی و مس از محلول های آبی بود. برای این منظور نانوساختار نی تهیه شد و اثر عواملی چون pH، زمان تماس، مقدار جاذب و غلظت اولیه فلزات بر کارایی حذف روی و مس در سیستم ناپیوسته بررسی و مدل های جذب ایزوترم و سینتیک برآش داده شد و در انتها فرایند واجذب یون های روی و مس از جاذب مورد مطالعه مورد بررسی قرار گرفت. برای تعیین ویژگی های جاذب از آزمون های SEM، PSA و FTIR استفاده شد. تصویر برداری از نانو جاذب تولیدی با میکروسکوپ الکترونی نشان داد که ۱۸/۵ درصد ذرات جاذب در محدوده نانوذره نانومتر و ۸۱/۵ درصد ذرات در محدوده نانوساختار بودند. نتایج نشان داد که مقدار بهینه pH برای هر دو فلز Cu ، زمان تماس ۹۰ دقیقه، مقدار جاذب 0.5 g و غلظت اولیه یون های فلزی $10\text{ }\mu\text{M}$ بر لیتر بود. از بین مدل های ایزوترم مدل لانگمویر برای هر دو یون روی و مس با بیشترین مقدار R^2 (به ترتیب 0.990 و 0.990) و کمترین مقدار RMSE (به ترتیب 0.011 و 0.004) بیشترین همبستگی را با داده های آزمایشی داشت. همچنین در بین مدل های سینتیک برآش داده شده مدل هووبرای هر دو یون روی و مس با بیشترین مقدار R^2 (به ترتیب 0.990 و 0.980) و کمترین مقدار RMSE (به ترتیب 0.007 و 0.004) بیشترین همخوانی را داشت. نتایج واجذب فلزات از جاذب نی طی سه چرخه نشان داد که راندمان واجذب برای یون های روی و مس (به ترتیب 72 و 75 درصد) در چرخه اول اتفاق افتاد.

کلید واژگان: نانو جاذب نی، سینتیک، ایزوترم، روی و مس، محلول آبی

نانو ذرات به دلیل کارایی جذب بالا، سطح ویژه و مکان های فعال زیاد، در پژوهش های زیادی به عنوان جاذب به کار برده شده اند. در این زمینه پژوهش هایی صورت گرفته است از جمله حذف فلزات سنگین سرب، کادمیم، مس و کروم از آب های حاوی سولفات بوسیله غشای نانو فیلتر NF، مدل حلزونی- مارپیچی مورد بررسی قرار گرفته است، طبق پژوهش انجام شده غشای NF راندمان بالایی در حذف فلزات مورد بررسی داشته و راندمان حذف در حضور یون های سولفات و افزایش دبی تا یک محدوده مشخص، افزایش یافت (Malakoutian *et al.*, 2014). حذف فلزهای سنگین نیکل، روی و مس از فاضلاب آبکاری بوسیله یک غشای نانو فیلتراسیون مورد بررسی قرار گرفته است، نتایج نشان داد که افزایش فشار، زمان و دز جاذب عامل مثبتی در افزایش میزان حذف و افزایش غلظت موجب کاهش راندمان حذف گردید (Dai Niaki *et al.*, 2013). حذف یون های سرب، کادمیم، مس و نقره بوسیله نانو فیبرهای فسفری PAN مورد بررسی قرار گرفته است، نتایج نشان داد نانو فیبرهای فسفری PAN بیشترین بازده حذف را در آزمایشات جذب و اجذب نشان داد (Zhao *et al.*, 2015). حذف یون های مس، سرب، نیکل و KIT- کادمیم به وسیله سه نوع سیلیکای متخلخل (SBA-15 و SBA-6) مورد بررسی قرار گرفته است، نتایج نشان داد که فرآیند جذب فلزات سنگین توسط سیلیکای متخلخل با راندمان بالایی صورت گرفت (Ezzedine *et al.*, 2015). حذف فلزات مس، نیکل، کروم و روی توسط نوعی گز روغنی مورد بررسی قرار گرفته است، نتایج نشان داد که جاذب مورد بررسی راندمان بالایی در حذف فلزات داشته و همبستگی خوبی با مدل های جذب ایجاد گردید (Matouq *et al.*, 2015). حذف یون های آهن، سرب، روی، نیکل، کادمیم و مس توسط نانو ذرات مگنتیت مورد بررسی قرار گرفته است، نتایج نشان داد که در بین مدل های ایزووترم مدل لانگمویر و در بین مدل های سینتیک مدل هوو و همکاران

۱. مقدمه

فلزات سنگین به لحاظ طبیعت غیر قابل تجزیه، سمیت شدید، قابلیت تجمع و سلطان زائی نه تنها حیات موجودات آبزی را به مخاطره می اندازند بلکه آب های پذیرنده را جهت مصارف گوناگون از جمله Afkhami *et al.*, (2010). روی در کوتاه مدت باعث عوارضی چون دل پیچه، اسهال، تهوع و در طولانی مدت منجر به بیماری های سیستم عصبی، آسیب لوزالمعده و کاهش کلسترول می گردد (Asadi, 2002). مس یکی از عناصر ضروری برای گیاهان و حیوانات است اما مقدار زیاد آن برای تمامی موجودات زنده ایجاد سمتی میکند. غلظت بالای این فلز، جمعیت میکروبی اکوسیستم را تحت تاثیر قرار می دهد (Hosseini *et al.*, 2013).

روش های متنوعی برای حذف فلزات سنگین شامل ته نشینی، فیلتراسیون، اکسیداسیون و احیا، تبادل یونی و جداسازی غشایی وجود دارد. وقتی فلزات در حجم زیاد و غلظت کم محلول می باشند این روش ها Ding *et al.*, (2014), El-Sadaawy and Abdelwahab, (2014). در سال های اخیر، استفاده از جاذب های ارزان قیمت به عنوان جایگزینی برای کربن فعال، به دلیل هزینه بالای مراحل فعال سازی آن، مورد توجه بسیاری از محققین قرار گرفته است. جاذب های ارزان قیمت، عمده از مواد زائد حاصل از فعالیت های صنعتی و به خصوص کشاورزی تهیه می شوند. این جاذب ها به فراوانی یافت شده، هزینه آماده سازی آن ها پایین بوده و بیشتر پایه سلولزی دارند (Mehrabi and Farahmand Kia, 2008).

۲.۰.۲. تهیه جاذب

در این پژوهش گیاه نی از نیزارهای استان خوزستان جمع آوری گردید و پس از شستشو و خشک شدن در آون دمای ۷۰ درجه سانتی گراد به مدت ۲۴ ساعت، به مدت ۹ ساعت توسط دستگاه آسیاب گلوله ای ریزتر شد تا به ابعاد نانومتر تبدیل شود. اندازه ذرات نانو نی از طریق آنالیز دانه بندی تعیین گردید.

۳.۰.۲. خصوصیات جاذب

به منظور تعیین اندازه ذرات، گروههای عاملی، مورفولوژی جاذب، درصد وزنی عناصر موجود در ساختار جاذب و سطح ویژه جاذب به ترتیب آنالیز دانه بندی ذرات، آزمون FTIR ، تصاویر SEM ، آنالیز ایدکس و روش متیلن بلو انجام گرفت.

۴.۰.۲. آزمایش های ناپیوسته

آزمایش های ناپیوسته برای تعیین تاثیر عوامل مختلف بر جذب، با استفاده از گیاه نی در مقیاس نانو، در pH های ۳ تا ۷، زمان تماس ۱۰ تا ۱۲۰ دقیقه، مقدار جاذب ۰/۱ تا ۱ گرم و غلظت های اولیه ۵، ۱۰، ۳۰ و ۵۰ میلی گرم بر لیتر یون های روی و مس با دور اختلاط ۱۲۰ دور بر دقیقه انجام شد. سپس غلظت نمونه های حاصل از آزمایش با استفاده از دستگاه جذب اتمی (model VARIAN, 220 Afkhami et al., 2010, Karami, 2013). در این پژوهش درصد بازده حذف و ظرفیت جذب به ترتیب از روابط (۱) و (۲) تعیین شد :

(Afkhami et al., 2010, Rahmani et al., 2010)

$$(1) \quad \%R = \frac{C_i - C_f}{C_i} \times 100$$

بیشتریت ظرفیت جذب را در حذف یون های فلزی داشت و بیان شد نانو ذرات مگنتیت توانایی حذف فلزات سنگین از آب را دارد (Karami, 2013). حذف یون های آهن، سرب، نیکل، کادمیم و مس از فاضلاب با استفاده از جاذب های ارزان قیمت پوسته برنج و خاکستر مورد بررسی قرار گرفته است، نتایج نشان داد که میزان حذف یون ها به مقدار جاذب وابسته بود و جاذب های پوسته برنج خاکستر به طور نتیجه بخشی در حذف فلزات سنگین موثر است (Hegazi, 2013). از آنجایی که جاذب نی نانوساختار (*Phragmites australis*) به عنوان یک جاذب در دسترس و ارزان قیمت در حذف آلودگی فلزات سنگین روی و مس از محلول های آبی در متون علمی مشاهده نشده است، لذا این مطالعه با هدف مقایسه قابلیت جذب روی و مس توسط نانو جاذب نی مورد بررسی قرار گرفت. برای یافتن شرایط بهینه حذف، برخی از منغیر ها از قبیل pH، زمان تعادل، مقدار جاذب و غلظت اولیه یون های فلزی ارزیابی شد. در ادامه، ایزوترم و سینتیک جذب سطحی روی و مس و فرایند واجدب یون های فلزی مورد بررسی قرار گرفت.

۲. مواد و روش ها

۱.۰.۲. تهیه محلول

تمام محلول های آزمایش به طور مصنوعی با استفاده از نمک سولفات مس (CuSO₄) و نیترات روی (ZnNO₃) و آب دیونیزه تهیه شدند. برای این منظور Zn(II) ۱۰۰۰ میلی لیتر محلول استوک Cu(II) و تهییه شد. در کلیه آزمایش ها حجم محلول مورد استفاده ۴۰ میلی لیتر در نظر گرفته شد. همچنین دمای محیط ۲۰ ± ۲ درجه تنظیم شد.

$b(l/mg)$ فاکتور مربوط به انرژی جذب هستند، K_f و n به ترتیب ضرایب مربوط به ظرفیت جذب و شدت جذب، b_T ضریب ثابت مربوط به گرمای جذب (J/mol)، K_T ضریب ثابت تعادل تجربی تمکین- (Lg) ، n_H ضریب توانی و K_H ضریب ثابت هالسی می باشند.

۲.۰.۴.۲. سینتیک های جذب

به منظور ارزیابی داده های جذب از مدل های سینتیک لانگمیرن، هوو، الوبیج و انتشار درون ذره ای استفاده شد (معادله ۷-۱۰) (Freundlich, 1906, Temkin and Pyzhev, 1940, Teng and .(Hsieh, 1999, Ulman *et al.*, 2003

$$\log(q_e - qt) = \log q_e - \frac{k_1}{2.303} t \quad (7)$$

$$\frac{t}{qt} = \frac{1}{k_1 q_e^2} + \frac{1}{q_e} t \quad (8)$$

$$qt = \frac{1}{b_1} \ln(a_1 b_1) + \frac{1}{b_1} \ln(t + t_0) \quad (9)$$

$$qt = k_1 t^{0.5} + c \quad (10)$$

که در آن $(1 - \frac{q_e}{mgg})$ ظرفیت جذب یون های فلزی، $\frac{qt}{mgg}$ ظرفیت جذب تعادلی در زمان $t(min)$ ضریب مربوط به معادله هوو، K ضریب مربوط به معادله هوو، a_1 (mgg-1min-1) مقدار اولیه ای جذب، b_1 (gmg-1) مربوط به میزان پوشش سطح و اثری فعال برای جذب شیمیایی است. k_1 ضریب مربوط به انتشار درون ذره ای است. ضرایب مدل لانگمیرن، k_1 و q از شبی منحنی و رگرسیون گیری خطی از $\ln(qt-q)$ و t ، ضریب مدل هوو k از رگرسیون گیری پارامترهای معادله، در مدل اولبیج مقادیر a شبی منحنی و b از طریق رگرسیون گیری خطی بین پارامترهای معادله، در مدل انتشار درون ذره ای k شبی منحنی و c از طریق رگرسیون گیری بدست آمد.

$$q_e = \frac{C_i - C_f}{m} \times V \quad (2)$$

در این روابط:

q_e ، میزان جذب ماده حل شده در واحد جرم جاذب mg . C_i ، غلظت اولیه ماده حل شونده (L^{-1}) C_f ؛ غلظت باقی مانده ماده حل شونده (L^{-1}) در محلول؛ m ، مقدار جاذب (g) و V ، حجم محلول (L) می باشد. پس از آن برای توصیف چگونگی ماده جذب شونده با جاذب و همچنین برآورد مقادیر بهینه جاذب مصرفی از مدل های سینتیک و ایزووترم جذب استفاده شد.

۱.۰.۴.۲. مطالعات ایزووترم

مدل های ایزووترم لانگمیر، فروندلیج، تمکین و هالسی به منظور بررسی فرآیند جذب مورد بررسی قرار گرفت. مدل لانگمیر به در دسترس بودن سطح محدودی از ماده برای جذب سطحی، مدل فروندلیج به ناهمگنی سطوح جاذب، مدل تمکین به ارزیابی جذب سطحی پتانسیل های جاذب در فرآیند جذب، مدل هالسی به جذب چند لایه ای عناصر روی و مس و مدل هارکینز به جذب چند لایه ای جاذب به همراه توزیع منافذ ناهمگن در سطح جاذب اشاره داد. مدل های مورد استفاده به قرار زیر می باشند (معادله ۶- (Langmuir, 1918, Freundlich, 1906, Temkin and Pyzhev, 1940, Teng and : (Hsieh, 1999

$$\frac{C_e}{q_e} = \frac{1}{q_{max} b} + \frac{C_e}{q_{max}} \quad (3)$$

$$\log q_e = \log K_f + \frac{1}{n} \log \frac{C_e}{q_e} \quad (4)$$

$$q_e = b t \ln K_f + b t \ln \frac{C_e}{q_e} \quad (5)$$

$$\ln q_e = \left[\left(\frac{1}{n} \right) \ln K_f \right] - \left(\frac{1}{n} \right) \ln \left(\frac{C_e}{q_e} \right) \quad (6)$$

در معادلات فوق ($C_e(mg/l)$ غلظت تعادلی محلول، $q_e(mg/g)$ مقدار فلز جذب شده در زمان تعادلی، $q_{max}(mg/g)$ فاکتور مربوط به ظرفیت جذب و

نتایج اندازه گیری سطح و مورفولوژی نانوجاذب نی با استفاده از آنالیز SEM در شکل (۲) نشان داده شده است. مطابق شکل، سطح نانوجاذب نی صاف و منظم بوده که نشان دهنده حذف ناخالصی های آن و قابلیت جذب بهتر آلاینده ها توسط این جاذب می باشد.

شکل (۳) طیف مربوط به نانوذرات نی خالص را نشان می دهد. مطابق شکل برای نانوجاذب نی، پیک فرکانسی $3414/80$ مربوط به پیوند OH، فرکانس $2921/28$ مربوط به پیوند C-H کششی، طول موج $1731/21-1637/80$ مربوط به پیوند C=O کششی و پیک جذب $1061/33$ مربوط به پیوند C-O می باشد. مطابق شکل فعالترین پیوند در جذب پیوند OH می باشد که مطابق شکل برای نانوذرات نی پهن تر است که نشانه پیوند هیدروژنی قوی در این جاذب می باشد. با توجه به پیوند های موجود در جاذب ها میتوان بیان داشت که جاذب مورد نظر توانایی خوبی در حذف فلزات از محلول آبی دارد.

۲.۳. تاثیر pH اولیه بر بازده حذف روی و مس
شکل ۴، تاثیر pH اولیه محلول $3, 4, 5, 6$ و 7 بر بازده جذب روی و مس را نشان می دهد. pH بهینه جذب برای هر دو عنصر برابر 6 بود. همانطور که مشاهده می شود حداقل بازده حذف برای یون های روی و مس در pH برابر 3 به ترتیب 63 و 74 درصد و حداقل مقدار آن در pH برابر 6 به ترتیب 82 و 93 درصد بود. با توجه به نتایج جذب فلزات سنگین بر روی جاذب از طریق جذب سطحی صورت می گیرد، بنابر این مقدار pH محلول تاثیر بسیاری در جذب فلزات دارد.

۵.۵. آزمایشات واجذب

جهت انجام آزمایش واجذب، 40 میلی لیتر اسید هیدروکلریک $1/10$ نرمال به مقادیر بهینه جاذب اضافه نموده و روی دستگاه لرزاننده با سرعت 120 دور بر دقیقه گذاشته شد. نمونه ها به مدت 15 دقیقه و سرعت 2000 دور بر دقیقه سانتریفوژ شده و غلظت نهایی نمونه های واجذب شده تعیین شد. فرآیند واجذب طی سه مرحله صورت گرفت. درصد روی و مس واجذب شده از جاذب توسط معادله زیر تعیین گردید:

$$\frac{\text{مقادیر یون واجذب شده}}{\text{مقادیر یون جذب شده}} = \text{واجدب (درصد)} \quad (11)$$

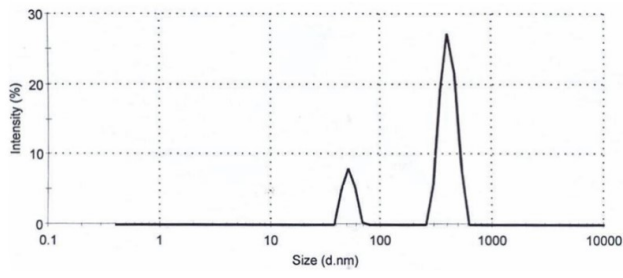
که در صورت کسر مقدار یون واجذب شده (میلی گرم بر لیتر) و مخرج مقدار یون جذب شده (میلی گرم بر لیتر) می باشد.

۳. نتایج

۱۰.۳. خصوصیات جاذب

شکل ۱، نتایج دانه بندی ذرات (PSA) را نشان می دهد. با توجه به شکل $18/5$ درصد ذرات جاذب در محدوده نانوذره با قطر کمتر از $51/47$ نانومتر و $81/5$ درصد ذرات در محدوده نانوساختار با قطر کمتر از $40/6$ نانومتر بودند. طبق نتایج آزمایش جذب متیلن بلو، سطح ویژه جاذب مورد مطالعه در این پژوهش $71/14$ مترمربع بر گرم بود.

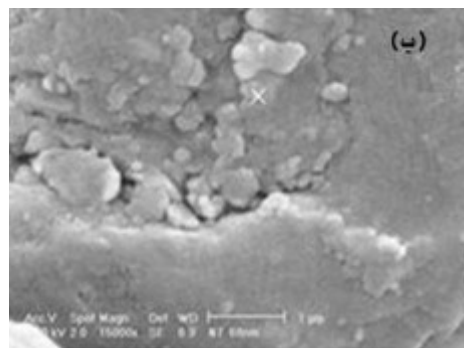
جدول (۱) نتایج آنالیز کمی جاذب مورد مطالعه را با استفاده از آنالیز ایدکس نشان می دهد. با توجه به جدول، ساختار میکرو و نانوجاذب نی دارای عناصر شیمیایی اصلی منیزیم، سدیم، سیلیسیم، گوگرد، کلر، کلسیم، روی و پتاسیم می باشد.



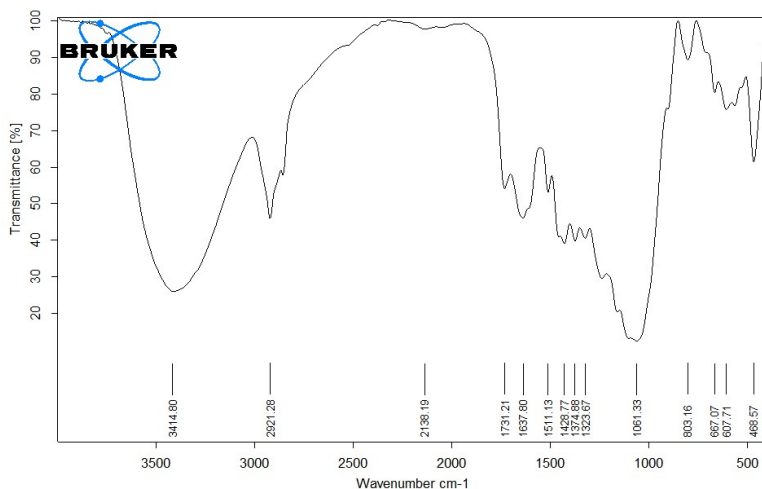
شکل ۱- توزیع اندازه ذرات نانو ساختار جاذب نی

جدول ۱- آنالیز کمی جاذب مورد مطالعه

K (%)	Zn (%)	Ca (%)	Cl (%)	S (%)	Si (%)	Na (%)	Mg (%)	نوع جاذب
۱/۸۷	۱۳/۳۳	۱۰/۲۴	۱۹/۱۳	۱۲/۱۶	۳۰/۰۷	۴/۹۲	۸/۲۹	نی



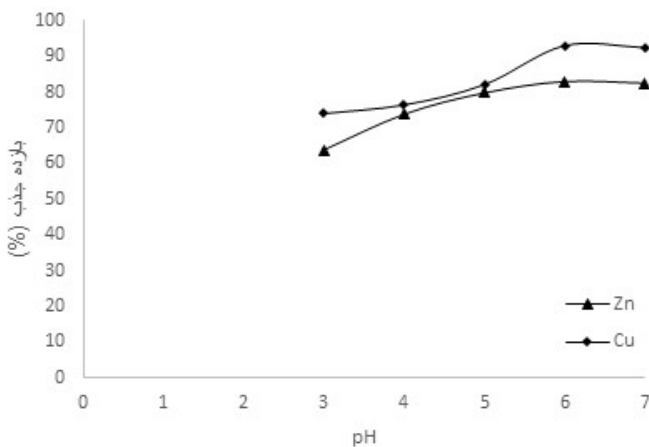
شکل ۲- تصاویر SEM از جاذب نی نیزار - نانوساختار (بزرگنمایی ۱۵۰۰۰)



شکل ۳- نتایج آنالیز FTIR نانوذرات نی

نتیجه آن افزایش جذب سطحی جاذب است (Escudero *et al.*, 2013, Dos Santos and Masini, 2007). کاهش جذب در pH های بیشتر از ۶ احتمالاً به دلیل شکل گیری مجموعه های هیدروکسیلی و رسوب فلزات بوده است (Gupta *et al.*, 2003, Shin and Dong, 2009).

در pH پایین یون های هیدروژن به عنوان رقیبی در محیط محسوب می شوند در نتیجه مقدار جذب روی و مس کاهش می یابد (Rahmani *et al.*, 2010, Kumar, 2006). در pH های ۵ و ۶ به علت افزایش مقدار -OH، جذب یون های فلزی افزایش یافته و بازده جذب بالا می رود. علاوه بر آن با کاهش غلظت یون H⁺، بار منفی سطح جاذب افزایش یافته که



شکل ۴- اثر pH بر جذب روی و مس توسط نانو جاذب نی

(زمان تماس ۹۰ دقیقه، مقدار جاذب ۵/۰ گرم و غلظت ۱۰ میلی گرم بر لیتر)

۴.۳. تاثیر مقدار جاذب بر بازده حذف روی و مس

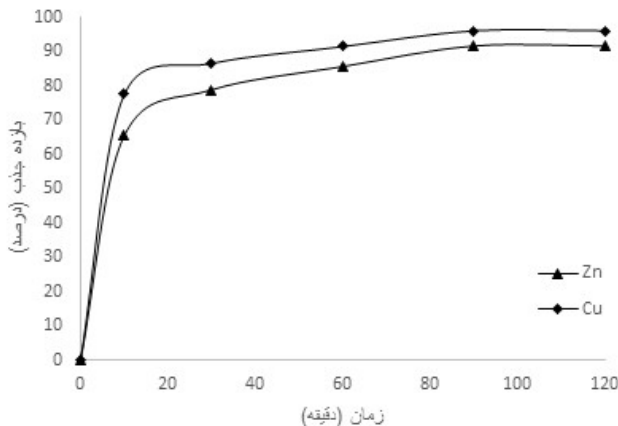
شکل ۶ اثر مقدارهای مختلف ۰/۱، ۰/۳، ۰/۵، ۰/۷ و ۱ گرم از جاذب بر بازده حذف یون های روی و مس را در غلظت ۱۰ میلی گرم بر لیتر نشان می دهد. مطابق شکل برای روی و مس با افزایش مقدار جاذب از ۰/۱ تا ۰/۵ گرم بازده حذف روی از ۷۱ تا ۸۸ درصد و برای مس از ۹۴ تا ۸۴ درصد افزایش یافت که این عامل در اثر افزایش سطح ویژه و مکان های جذب بود. برای هر دو محلول با افزایش مقدار جاذب درصد حذف کاهش یافت، به این دلیل که نانو مواد، سطح ویژه و واکنش پذیری بالاتری دارند و با افزایش مقدار جاذب در محلول با یکدیگر واکنش داده و به صورت کلوخه در می آیند که سطح ویژه آنها کاهش

۴.۳. تاثیر زمان تماس بر بازده حذف روی و مس

شکل ۵ تغییرات بازده حذف روی و مس را با زمان های مختلف ۱۰، ۳۰، ۶۰، ۹۰ و ۱۲۰ دقیقه، توسط جاذب نانوساختار نی نشان می دهد. همان گونه که در شکل مشاهده می شود سرعت جذب یون ها با گذشت زمان افزایش یافت. به طوری که حداقل بازده حذف یون های روی و مس به ترتیب ۶۵ و ۷۷ درصد در ۱۰ دقیقه اول و حداقل بازده حذف یون های روی و مس به ترتیب ۹۱ و ۹۶ درصد، پس از ۹۰ دقیقه تماس محلول و جاذب رخ داد. بنابراین زمان ۹۰ دقیقه به عنوان زمان بهینه جذب در نظر گرفته شد.

اساس نتایج بدست آمده بازدهی حذف یون مس بیشتر از روی بوده است.

می یابد و بازده حذف یون های فلزی، توسط این ذرات کاهش می یابد (Rahmani *et al.*, 2010). بر



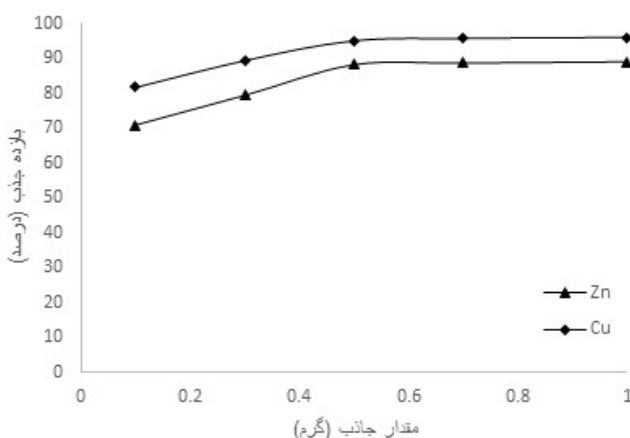
شکل ۵- اثر زمان تماس بر جذب روی و مس توسط نانو جاذب نی

(مقدار جاذب ۰/۵ گرم و غلظت ۱۰ میلی گرم بر لیتر و pH بهینه)

لاگرگن دارای بیشترین مقدار RMSE برای یون های روی و مس (به ترتیب ۳/۲۳ و ۰/۸۴) و مدل R^2 هوو برای یون های روی و مس با بیشترین مقدار RMSE (به ترتیب ۰/۹۹ و ۰/۹۸) و کمترین مقدار (به ترتیب ۰/۰۴ و ۰/۰۷) بیشترین همخوانی را با داده های جذب داشت و به عنوان بهترین مدل برای توصیف فرایند جذب انتخاب شد.

۳.۶.برازش مدل های سینتیک جذب

نتایج برآزش مدل های سینتیک مرتبه اول (لاگرگن)، سینتیک مرتبه دوم (هوو و همکاران)، الوبیچ و درون ذره ای بر داده های جذب یون های روی و مس در جدول ۲ نشان داده شده است. با توجه به جدول از بین مدل های مورد مطالعه مدل



شکل ۶- اثر مقدار جاذب بر جذب روی و مس توسط نانو جاذب نی

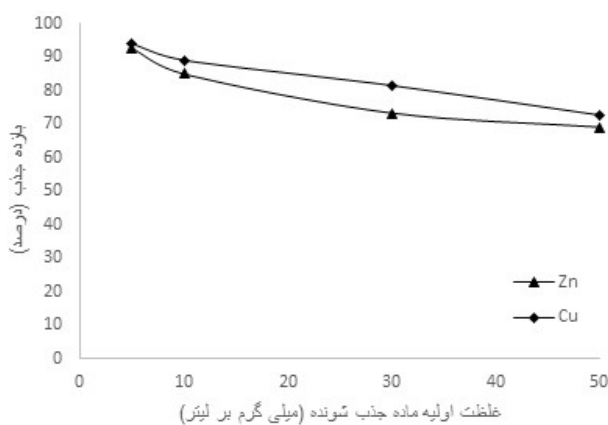
(غلظت ۱۰ میلی گرم بر لیتر و pH و زمان تماس بهینه)

بررسی راندمان حذف روی و مس از محلول آبی با استفاده...

برای جذب غلظت های بالاتر روی از ۹۲ به ۶۹ درصد و برای مس از ۹۵ به ۷۹ درصد کاهش یافت. مطابق نتایج در غلظت های پایین، یون های فلزی با مکان های جذب موجود بر سطح جاذب بر هم کنش داشته و لذا درصد جذب بیشتری صورت می گیرد. در غلظت های بالاتر به دلیل اشباع شدن موقعیت های جذب راندمان جذب نیز کاهش می یابد (Karami, 2013, Farasati *et al.*, 2013).

۵.۳. تاثیر غلظت اولیه یون های روی و مس بر بازده حذف

شکل ۷ اثر غلظت های اولیه ۵، ۱۰، ۳۰ و ۵۰ میلی گرم بر لیتر یون های روی و مس بر بازدهی جذب توسط نانو جاذب نی را نشان می دهد. مطابق شکل با افزایش غلظت اولیه روی و مس از ۵ تا ۵۰ میلی گرم بر لیتر، بازدهی جذب به دلیل کمبود سطح کافی



شکل ۷- اثر مقدار غلظت اولیه یون های فلزی بر راندمان جذب توسط نانو جاذب نی

(pH، زمان تماس و جرم جاذب بینه)

لاگرگن دارای بیشترین مقدار RMSE برای یون های روی و مس (به ترتیب ۳/۲۳ و ۰/۸۴) و مدل R^2 هوو برای یون های روی و مس با بیشترین مقدار RMSE (به ترتیب ۰/۹۹ و ۰/۹۸) و کمترین مقدار RMSE (به ترتیب ۰/۰۴ و ۰/۰۷) بیشترین همخوانی را با داده های جذب داشت و به عنوان بهترین مدل برای توصیف فرایند جذب انتخاب شد.

۶.۳. برآزش مدل های سینتیک جذب

نتایج برآزش مدل های سینتیک مرتبه اول (لاگرگن)، سینتیک مرتبه دوم (هوو و همکاران)، الوبیچ و درون ذره ای بر داده های جذب یون های روی و مس در جدول ۲ نشان داده شده است. با توجه به جدول از بین مدل های مورد مطالعه مدل

جدول ۲- پارامترهای مدل‌های سینتیک بر جذب یون‌های روی و مس توسط جاذب نی نانوساختار

RMSE	R ²	q _e (mg.g ⁻¹)	K (min ⁻¹)	یون فلزی	مدل لاغرگرن
۳/۲۳	۰/۸۲	۰/۴۱۴	۰/۰۰۴	روی	نی-نانوساختار
۰/۸۴	۰/۹۴	۳/۷۹۶	۰/۰۷۶	مس	نی-نانوساختار
RMSE	R ²	q _e (mg.g ⁻¹)	K (g.mg ¹ .min ⁻¹)	یون فلزی	مدل هو و همکاران
۰/۰۴	۰/۹۹	۳/۷۶۱	۰/۰۵۸	روی	نی-نانوساختار
۰/۰۷	۰/۹۸	۴/۶۹۷	۰/۰۴۷	مس	نی-نانوساختار
RMSE	R ²	k _i (g.mg ¹ .min ⁻¹)	c	یون فلزی	مدل درون ذره‌ای
۰/۱۲	۰/۸۹	۰/۱۲۴	۲/۳۹۹	روی	نی-نانوساختار
۰/۱۵	۰/۸۹	۰/۱۵۲	۳/۰۲۶	مس	نی-نانوساختار
RMSE	R ²	b	a	یون فلزی	مدل الوبیج
۰/۱۴	۰/۸۵	۰/۷۹۵	۰/۱۱۹	روی	نی-نانوساختار
۰/۱۷	۰/۸۶	۰/۶۴۷	۰/۱۵۴	مس	نی-نانوساختار

توجه به شرایط بهینه بدست آمده از آزمایش‌های جذب در سه چرخه متوالی نشان می‌دهد. با توجه به نتایج بدست آمده حداکثر بازدهی واجذب یون‌های روی و مس از جاذب مورد مطالعه (به ترتیب ۷۲ و ۷۵ درصد) در چرخه اول اتفاق افتاد و اسید هیدروکلریک ۱/۰ نرمال دارای ظرفیت واجذب بالایی بود و با افزایش چرخه‌های واجذب بازدهی واجذب کاهش یافت به‌طوری‌که در چرخه سوم بازدهی واجذب یون‌های روی و مس از جاذب مورد مطالعه (به ترتیب ۴ و ۵ درصد) به حداقل مقدار رسید. مقایسه درصد واجذب یون‌های روی و مس در هر سه چرخه نشان داد که نانوذرات نی قابلیت بازیافت و استفاده مجدد را خصوصاً در چرخه اول دارد که با نتایج سایر پژوهشگران مطابقت دارد (Afkhami *et al.*, 2010, Boparai *et al.*, 2011, Xing *et al.*, 2010).

۷.۳. مطالعات جذب ایزووترم

نتایج برآش مدل‌های ایزووترم فرونندلیچ، لانگمویر، تمکین و هالسی بر داده‌های جذب یون‌های روی و مس در جدول ۳ نشان داده شده است. با توجه به نتایج بدست آمده تمامی مدل‌های مورد بررسی همبستگی خوبی با داده‌های آزمایشی داشت اما با توجه به مقادیر نتایج برای جذب یون‌های روی و مس مدل لانگمویر با بیشترین مقدار R² (به ترتیب ۰/۹۸ و ۰/۹۹) و کمترین مقدار RMSE (به ترتیب ۰/۱۱ و ۰/۰۴) بیشترین مطابقت را با داده‌های آزمایشی داشت که نشان دهنده جذب فیزیکی و برگشت‌پذیر است.

۸.۳. فرآیند واجذب

جدول ۴ نتایج واجذب یون‌های روی و مس را با استفاده از محلول اسید هیدروکلریک ۱/۰ نرمال با

بررسی راندمان حذف روی و مس از محلول آبی با استفاده...

جدول ۳- پارامترهای مدل‌های ایزووترم بر جذب یون‌های روی و مس توسط جاذب‌نی نانوساختار

R^2	RMSE	q_{max} (mg/g)	b (L/mg)	مدل لانگمویر
۰/۹۸	۰/۱۱	۵/۱۷	۰/۴۵	روی
۰/۹۹	۰/۰۴	۶/۲۹	۰/۴۴	مس
R^2	RMSE	K _f	n	مدل فرونندلیچ
۰/۹۷	۰/۱۶	۱/۸۸	۱/۸۸	روی
۰/۹۸	۰/۱۱	۱/۹۶	۱/۹۶	مس
R^2	RMSE	K _T	b _T (KJ/mole)	مدل تمکین
۰/۹۶	۰/۲۱	۱/۳۸	۱/۱۹	روی
۰/۹۷	۰/۱۱	۱/۲۰	۱/۴۶	مس
R^2	RMSE	K _H	n _H	مدل هالسی
۰/۹۶	۰/۲۳	۰/۷۹	۱/۷۶	روی
۰/۹۷	۰/۱۴	۰/۹۳	۱/۶۸	مس

جدول ۴- نتایج واجذب یون‌های روی و مس توسط جاذب مورد مطالعه

نوع جاذب	یون فلزی	غلظت یون جذب شده(میلی گرم بر لیتر)	غلظت یون جذب شده(میلی گرم بر لیتر)	بازدهی جذب (درصد)	غلظت یون دفع شده (میلی گرم بر لیتر)	بازدهی واجذب (درصد)	چرخه واجذب
روی	۲/۳۵	۸۷/۹۷	۱/۷۰	۷۲/۰۵	چرخه اول		
روی	۲/۷۵	۹۲/۲۳	۰/۲۱	۹/۰۲	چرخه دوم		
مس	۲/۷۵	۹۲/۲۳	۰/۱۰	۴/۳۵	چرخه سوم		
مس	۱/۱۷	۲/۰۸	۰/۳۲	۷۵/۴۵	چرخه اول		
مس	۱/۱۷	۹۲/۲۳	۰/۳۲	۱۱/۷۳	چرخه دوم		
مس	۱/۶۸	۱/۶۸	۰/۱۳	۴/۷۹	چرخه سوم		

تعادل، جرم بهینه جاذب، غلظت اولیه یون‌های روی و مس مطالعه شد. همچنین به منظور بررسی کارایی

جادب مورد مطالعه و استفاده از آن در آزمایش‌های ناپیوسته، آزمایشات واجذب انجام گردید.

طبق نتایج این پژوهش، pH بهینه جذب یون‌های روی و مس جاذب‌نی نانوساختار pH=۶ به دست

۴. بحث و نتیجه گیری

در این پژوهش اثر جاذب نانوساختار نی بر حذف یون‌های روی و مس از محلول آبی با استفاده از آزمایش‌های جذب ناپیوسته بررسی گردید. در آزمایش‌های ناپیوسته، اثر عواملی مانند pH، زمان

نanosاختار نی نشان می دهد. مطابق نتایج آزمایش های سینتیک از بین مدل های مورد مطالعه، بیشترین مقدار R^2 و RMSE برای یون های روی و مس $0/99$ و $0/98$ و $0/04$ و $0/07$ متعلق به مدل هوو بود.

همچنین مطالعات جذب ایزوترم به منظور درک مکانیزم جذب یون های روی و مس توسط جاذب مورد مطالعه بررسی می شود. برای مطالعات ایزوترم از بین مدل های بررسی شده، مدل لانگمویر برای یون های روی و مس با بیشترین مقدار $R^2 (0/98)$ و $0/99$ و کمترین مقدار RMSE ($0/11$ و $0/04$) بیشترین همخوانی را با داده های آزمایشی داشت. نتایج واجذب یون های روی و مس طی سه چرخه متوالی نشان داد که حداکثر بازدهی واجذب یون های روی و مس از جاذب مورد مطالعه (به ترتیب ۷۲ و ۷۵ درصد) در چرخه اول اتفاق افتاد و با افزایش چرخه های واجذب بازدهی واجذب کاهش یافت. بنابر این با توجه به توانمندی های فناوری نانو در زمینه حذف و کنترل آلودگی، می توان از آن به عنوان ابزاری مناسب برای دستیابی به توسعه پایدار یاد کرد، ولی نکته قابل توجه اینکه برای حذف آلایinde در مقیاس آزمایشگاهی، نمی توان تنها به محلول های تک آلایinde ای بسنده کرد و لازم است پژوهش ها در محلول هایی با دو یا چند آلایinde بررسی شود تا نتایج واقع بینانه تری بدست آید.

آمد. با افزایش بیشتر pH محلول از حد بهینه، میزان جذب یون های روی و مس و بازدهی جذب تقریبا ثابت ماند.

نتایج حاصل از بررسی زمان تعادل نشان داد که با افزایش زمان تماس، بازدهی جذب افزایش یافت به طوری که در زمان ۹۰ دقیقه به بیشترین مقدار خود رسید و بعد از آن ثابت ماند که این روند به دلیل خالی بودن مکان های سطح جاذب در زمان های اولیه جذب بوده است و با گذشت زمان به دلیل کاهش مکان های خالی در دسترس مقدار جذب یون های فلزی کاهش یافت. طبق نتایج حاصل از بررسی مقادیر مختلف جاذب، با افزایش مقدار جاذب به دلیل افزایش مکان های جذب در دسترس بازدهی جذب افزایش یافت تا در مقدار $0/5$ گرم به بیشترین مقدار خود رسید و بعد از آن تفاوت معنی داری در میزان بازدهی مشاهده نشد. بنابر این مقدار $0/5$ گرم به عنوان جرم بهینه جاذب در نظر گرفته شد.

اثر غلظت اولیه یون های روی و مس نشان داد که با افزایش غلظت اولیه یون های مورد مطالعه، بازدهی جذب به دلیل کمبود سطح کافی برای جذب یون های روی و مس کاهش یافت. بنابر این غلظت 10 میلی گرم بر لیتر، مقدار بهینه یون های فلزی در نظر گرفته شد.

مدل های سینتیک جذب سرعت جذب اولیه و ظرفیت جذب یون های روی و مس را توسط جاذب

References:

- Afkhami, A., Saber-Tehrani, M. and Bagheri, H. 2010. Simultaneous removal of heavy-metal ions in wastewater samples using nano-alumina modified with 2, 4-dinitrophenylhydrazine. *Journal of Hazardous Materials*. 181: 836–834.
- Asadi, F. (2002). "Removal of heavy metals from industrial wastewater by rice husk, sawdust and soil" M.S thesis, Esfahan University, Iran (Thesis).
- Boparai, H.K., Joseph, M., and O'Carroll, D.M. (2011). Kinetics and thermodynamics of Cadmium ion removal by adsorption onto nano zerovalent iron particles *Journal of Hazardous Materials*. 186 (1), 458-465.
- Dai Niaki, S.M., Takdastan. A., Zouli M.A. and Mortazavi, M.S. (2013). "Nano-filtration efficiency for the removal of heavy metals from wastewater." *Journal of Water and Wastewater*, No 1, 125-131.
- Ding, D., Lei, Zh, Feng, Ch. and Zhang, Zh. (2014). Selective removal of cesium from aqueous solutions with nickel (II) hexacyanoferrate (III) functionalized agricultural residue–walnut shell. *Journal of Hazardous Materials*. 270: 187–195.
- Dos Santos, A., and Masini, J. (2007). "Evaluating the removal of Cd (II), Pb (II) and Cu (II) from a Wastewater sample of a coating industry by adsorption onto vermiculite." *J. of Applied Clay Science*, 37(1/2), 167-174.
- El-Sadaawy M, Abdelwahab O. (2014). Adsorptive removal of nickel from aqueous solutions by activated carbons from doum seed (*Hyphaenethebaica*) coat.2014; Alexandria Engineering Journal 53:399–408.
- Escudero, C., Poch, J., and Villaescusa, I. (2013). "Modelling of breakthrough curves of single and binary Mixtures of Cu (II), Cd (II), Ni (II) and Pb (II) sorption onto grape stalks waste." *Chem. Eng. Journal*, 217, 129-138.
- Ezzedine, Z., Batonneau-Gener, I., Pouilloux, Y., Hamad, H., Saad, Z. and Kazpard, V. (2015). Divalent heavy metals adsorption onto different types of EDTA-modified mesoporous materials: Effectiveness and complexation rate. *Microporous and Mesoporous Materials*. 212: 125-136.
- Farasati, M., Seyedian, M., Boroomandnasab, S., Jaafarzadeh, N., Moazed, H. and Ghamarnia, H. (2013). Batch and column studies on the evaluation of micrometer and nanometer *Phragmites australis* for nitrate removal, *Desalination and Water Treatment*. 51:28-30.
- Freundlich, H.M.F. (1906). Over the adsorption in solution. *Journal of Physics and Chemical*. 7:385–470.
- Gupta, V., Jain, C., Ali, I., Sharma, M., and Saini, V. (2003). "Removal of cadmium and nickel from wastewater using bagasse fly ash a sugar industry waste." *J. of Water Research*, 37, 4038-4044.
- Hegazi, H.A. (2013). Removal of heavy metals from wastewater using agricultural and industrial wastes as adsorbents. *HBRC Journal* 9, 276–282.
- Hosseini, S.M., Farokhian Firooz. A., Babai, A.A. and Heidari zade, F. (2013). "Copper absorption from aqueous solution with modified tea waste with magnetite nanoparticles." *J. of Water and Wastewater*, No 4, 112-119.
- Karami H. (2013). Heavy metal removal from water by magnetite nanorods. *Chemical Engineering Journal*. 219: 209–216.
- Kumar, U. (2006). "Agricultural products and by-products as a low cost adsorbent for heavy metal removal from water and wastewater." *Journal of A Review. Scientific Research and Essay*, 1(2), 33-37.
- Langmuir, I. (1918). *J. Am. Chem. Soc.*, 40: 1361.
- Malakoutian, M., Golpaygani. A.A., and Rajabi zade, A. (2014). "Performance evaluation of nano-filtration process to remove heavy metals lead, cadmium, hexavalent chromium and copper from water containing sulfate." *Journal of Water and Wastewater*, No 5, 13-20.
- Matouq, M., Jildeh, N., Qtaishat, M. and Hindeyeh, M. (2015). The adsorption kinetics and modeling for heavy metals removal from 2 wastewater by Moringa pods. *Journal of Environmental Chemical Engineering*, on press.
- Mehrasbi, M., and Farahmand kia. Z. (2008). "Removal of heavy metals from aqueous solution

by adsorption on modified banana skins Beverage areas.” Journal of ealth and Environment, 1 (1), 57-66.

Ngomsik A.F., Bee A., Siaugue J.M., Talbot D., Cabuil V., Cote .(2009).Co (II) removal by magnetic alginate beads containing Cyanex 272, J. Hazard. Mater. 166:1043–1049.

Qian, Q., Mochidzuki, K., Fujii, T., and Sakoda, A. (2009). Removal of copper from aqueous solution using iron-containing adsorbents derived from methane fermentation sludge. *J. of Hazardous Materials*, 172: 1137-1144.

Rahmani, A., Zavvar Mousavi. H., and Fazli, M. (2010). “Effect of nanostructure alumina on adsorption of Heavy metals.” *J. of Desalination*, 253(1-3), 94-100.

Sabry M.S, Fawzy I.E, Khaled M.Gh, Hala M.G. (2013). Heavy metals removal from aqueous solutions and wastewaters by using various byproducts. *Journal of Environmental Management* 128: 514-521.

Shih, H., and Dong, H. (2009). “Rapid removal of heavy metal cations and anions from aqueous solutions by an amino-functionalized magnetic nano-adsorbent.” *J. of Hazardous Materials*, 163,

174-179.

Temkin M.J., Pyzhev V. (1940). Recent modifications of Langmuir isotherms, *Acta Physiochim.URSS* 12: 217–222.

Teng H., Hsieh C.T. (1999). Activation energy for oxygen chemisorption on carbon at low temperature, *Ind. Eng. Chem. Res.* 38: 292–297.

Ulmanu M, Marañón E, Fernández Y, Castrillón L, Anger I, Dumitriu D. (2003). Removal of copper and cadmium ions from diluted aqueous solutions by low cost and waste material adsorbents. *Water, Air, and Soil Pollution.* 142(1-4):357-73.

Xing, X., Gao, Q.Q., Yue, B. and Zhong, Q. (2010). Preparation of agricultural byproduct based anion exchanger and its utilization for nitrate and phosphate removal. *Bioresource Technology.* 101:8558 8564.

Zhao, R., Li, X., Sun, B., Shen, M., Tan, X., Ding, Y., Jiang, Z. and C. Wang. (2015). Preparation of phosphorylated polyacrylonitrile-based nanofiber mat and its application for heavy metal ion removal. *Chemical Engineering Journal.* 268: 290–299.